

不搅乱砂質土の動的強度の推定法

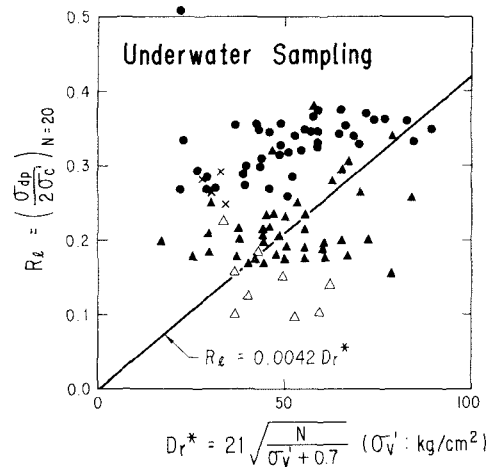
建設省土木研究所 正員 岩崎敏男
 東京大学生産技術研究所 ○ 龍岡丈夫
 建設省土木研究所 " 常田賀一

本報告は、N値・砂の粒度分布特性から砂質土の動的せん断強度を推定する手法を述べたものである。N値・深度・粒度分布特性からこの推定をしなければならない事は少なくない。従来、この場合、まず相対密度 $D_r = (e_{max} - e) / (e_{max} - e_{min}) \cdot 100\% (e_{max}, e_{min} \text{ は最大孔隙比, 最小孔隙比})$ をN値等から推定し、次に D_r から動的せん断強度を推定することが多かった様である。しかし、 D_r の推定の精度は、どの提案式を用いてもよくないようである。たとえば、Meyerhofの式による $D_r^* = 21 \sqrt{N / (\sigma'_v + 0.7)}$ (D_r と区別するため D_r^* とする)と実測の D_r の一致度は、広い範囲の粒径の砂に対してよいとは言えない。¹⁾ また、不搅乱試料の実測 D_r と、実測動的強度の相関もよいとは言いがたい。(データは、別途発表予定)そこで、上記の方法に替り、N値の σ'_v (有効上載圧 kg/cm^2)・砂の粒度特性と、動的強度を直接相關させる事をした。N、 σ'_v を両方含む $R_d = D_r / (D_{50} / 20)$ と D_r^* を用いた。粒度特性としては、平均粒径 D_{50} (mm)で代表させることとした。動的強度は、以下の定義による R_d を用いた。

$$R_d = \begin{cases} \text{不搅乱砂質試料 3 ないし 4 つの中の動的三軸試験から} \\ \text{得られる, 繰返し回数 } N = 20 \text{ 回 C, 軸圧振幅(固} \\ \text{振幅)DA が 5% ないし 6\% になる時の応力比} \\ = (\sigma_{dp} / 20)^{1/2} \text{。 5\% と 6\% による } R_d \text{ の差は微少} \\ \text{ある。} \end{cases}$$

尚、N値は、 R_d を求めた試料を採取した位置から3~4m 横のN値か、改めて1m上下でのN値の平均とすることを標準とした。Fig. 1 は、他所で得られたデータを含めて、 R_d と D_r^* の関係を示したものである。Site A

A01は、改良ビショッコ型サンドサンプラーによると、三軸試料は $\phi 5\text{cm}, h=10\text{cm}$ 、site Bのは、中口径サンドサンプラーによると、三軸試料は $\phi 7\text{cm}, h=14\text{cm}$ 、site CとDのは、大口径サンドサンプラーによると、三軸試料は $\phi 5\text{cm}, h=10\text{cm}$ である。Fig. 1 に示す σ'_v は供試体圧密応力である。いづれの現場も、正規圧密応力状態にあると見らるる理立砂層・沖積砂層である。従って、以下述べる事項は、 $K_0=0.5$ に近い状態に対するものである。Fig. 1 に示す



Site	DA (%)	σ'_v (kg/cm^2)
● A	6	σ'_v
▲ B	5	σ'_v
△ C	5	1.5 (Ishihara (1976, 1977))
× D	5	0.5 (Ishizawa et al (1977))

Fig. 1 R_d と $D_r^* = 21 \sqrt{N / (\sigma'_v + 0.7)}$ の相関

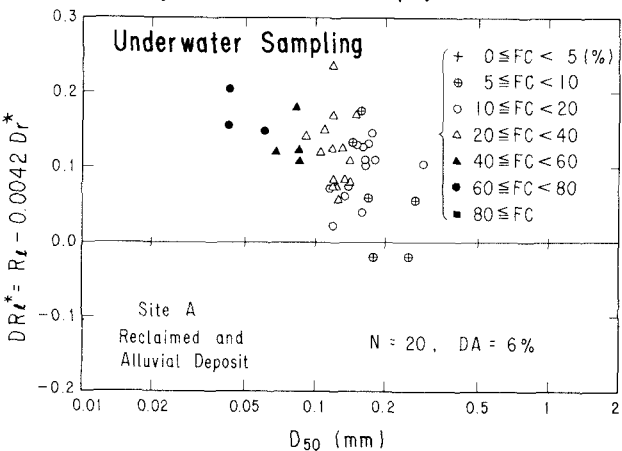


Fig. 2 $DR_d^* = R_d - 0.0042 D_r^*$ と D_{50} の相関 (Site A)

ないと言ふ。その原因の一つとして、底に同じ R_d の値を有するとしても粒径が異なる場合は、 N 値が異なる事が考えられる。そこで今、 $D_r = D_r^*$, $R_d = 0.0042 D_r$ が成り立つ砂があるとする。後者の式は、擾乱したときの砂に対するこの平均的な式である。³⁾ すると、この仮想的な砂に対する式は、

$$R_d = 0.0042 \cdot D_r^* \quad (1)$$

が成り立つ。しかし、実際の砂の場合には、粒度分布特性、堆積時間、静的・動的応力履歴によると、 D_r と D_r^* は一致せず、又、 $R_d = 0.0042 D_r$ を適用できない事が多い。従って、

$$D_r = D_r^* + D D_r; \quad R_d = 0.0042 D_r + D R_d \quad (2)$$

とすると、(2)式から

$$R_d = 0.0042 D_r^* + D R_d^* \quad (3)$$

となる。(3)式に付す $D R_d^*$ と、 D_{50} の相関を調べたのが Figs. 2, 3, 4 である。Fig. 2 は示細砂のデータについては $D R_d^*$ は、 D_{50} の替りに、細粒分含有率下 C の閾数としてあらわせる。しかし、高い範囲の粒径の砂については、Fig. 4 に示す様に、 $D R_d^*$ は D_{50} の閾数としてあらわしたもののがよいようである。Fig. 5 の相関は、 D_{50} が 0.05 mm から 1 mm の間にある場合は、

$$D R_d^* = -0.25 \log_{10} (D_{50}/0.4) \pm 0.015 \quad (4)$$

であらわせる。(3), (4)式から、

$$R_d = 0.0042 D_r^* - 0.25 \log_{10} (D_{50}/0.4) \pm 0.015 \quad (5)$$

N 値、 σ_v' 、 D_{50} が得られている時は、(5)式

から R_d の値を推定することができる。

又、(5)式は、同一の N 値、 σ_v' に対する D_{50} が小さい程 R_d は大きくなる事を示している。今後のデータの蓄積によると、(5)式は修正が必要となる事は、言うまでもない。

尚、データの蓄積にあたりては、建設省川崎国道工事事務所の諸氏、本四公団岡山出工事事務所の山本紀氏、東亜建設工業の藤原氏、基礎地盤コンサルタント安田達氏、应用地質調査事務所今井常雄氏・今野政志氏らの多大な協力を得ている。(参考文献)

1) 龍園・今野「 N 値と相対密度」第 5 回健康講演会

2) 石原研助「信濃川木門締切堤における液状化試験報告」(1976)

3) Ishihara, "Simple Method of Analysis for Liquefaction ... S&F, (1977)"

4) 后藤・中川・黒原「含田粒分を含む不擾乱砂質土の液状化試験」(1977)

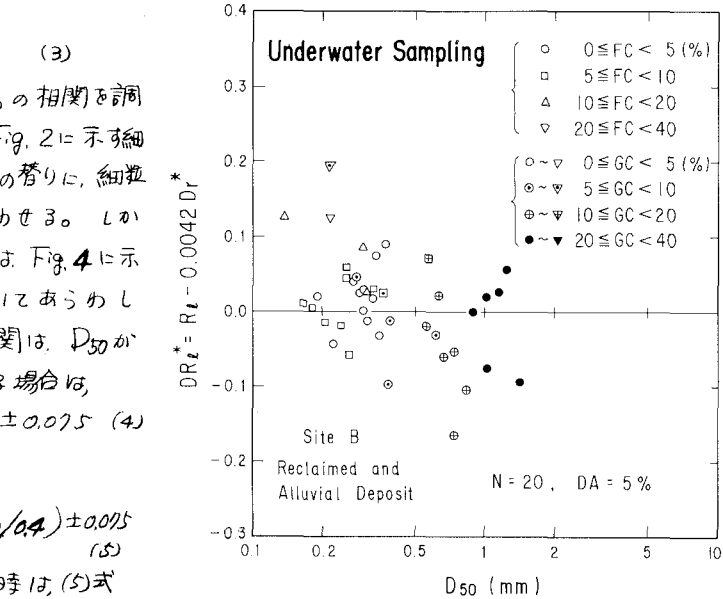


Fig. 3 $DR_d^* = R_d - 0.0042 D_r^*$ と D_{50} の相関 (site B)

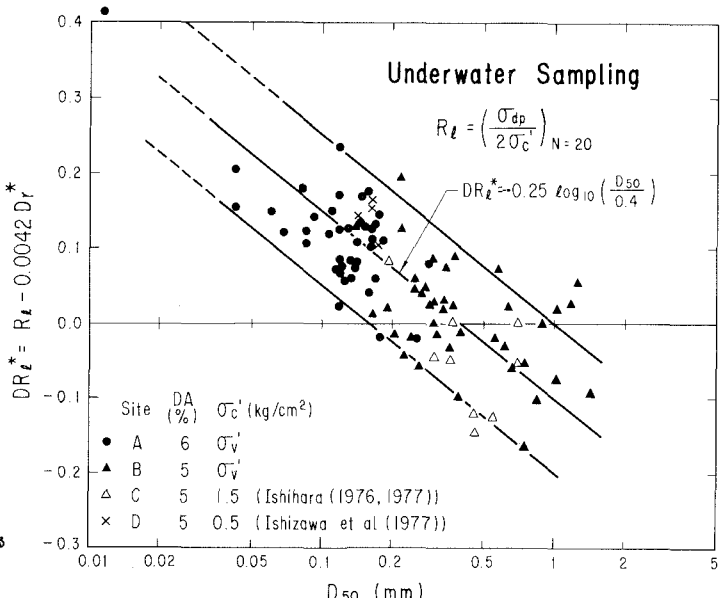


Fig. 4 $DR_d^* = R_d - 0.0042 D_r^*$ と D_{50} の相関 (まとめ)